

## جذب و واجذب فلورید و پسماند هم دما در یک خاک آهکی اصفهان

الهام چاووشی<sup>۱\*</sup>، مجید افیونی<sup>۲</sup> و محمدعلی حاج عباسی<sup>۲</sup>

(تاریخ دریافت: ۱۳۹۳/۰۵/۰۱؛ تاریخ پذیرش: ۱۲/۲۴/۱۳۹۳)

### چکیده

مطالعه جذب و واجذب فلورید در توصیف حرکت آن در خاک ضروری است. این پژوهش در خاک مزرعه تحقیقاتی دانشگاه صنعتی اصفهان (دو عمق صفر تا ۳۰ و ۶۰ سانتی‌متری) انجام شد. برای تعیین میزان جذب فلوراید از غلظت‌های صفر، ۵، ۲/۵، ۱۰، ۲۵، ۵۰ و ۱۰۰ میلی‌گرم فلوراید بر لیتر (با استفاده از نمک فلوراید سدیم) استفاده شد. برای اندازه‌گیری مقدار واجذب فلوراید نیز از محلول کلرید سدیم  $0.03\text{ M}$  مولار استفاده شد. براساس معیارهای  $R^*$  و  $SEE$ ، مدل‌های لانگمویر و فروندلیچ جذب فلوراید را در خاک بهخوبی توصیف کردند. ضریب  $n$  مدل فروندلیچ برای دو عمق به ترتیب  $0.57$  و  $0.55$  و ثابت  $K_F$  به ترتیب  $(L^n g^{-1})^{(1-n)}$  و  $0.26$  به دست آمد. بیشینه ظرفیت جذب خاک ( $q_{max}$ ) برای فلوراید براساس مدل لانگمویر  $g^{-1} = 0.4$  و  $0.35$  به ترتیب در عمق اول و دوم تعیین شد. مدل فروندلیچ، واجذب فلوراید از خاک را نیز بهخوبی توصیف نمود. مقادیر ثابت  $K_F$  هم‌دهای واجذب برای هر دو عمق خاک بیشتر از مقادیر متناظر هم‌دهای جذب بودند. همچنین  $K_{desorb}$  کوچک‌تر از  $K_{sorb}$  بود که نشانه پسماند مثبت بود. میانگین فلوراید واجذب شده از خاک بعد از دو مرحله واجذب در غلظت‌های مختلف حدود ۲۸ درصد بود. با توجه به نتایج بدست آمده جذب فلوراید توسط خاک مورد مطالعه برگشت‌پذیر بود.

واژه‌های کلیدی: فلوراید، جذب، واجذب، پسماند، لانگمویر، فروندلیچ

۱. گروه خاک‌شناسی، دانشکده کشاورزی، دانشگاه آزاد اسلامی واحد اصفهان (خوارسگان)

۲. گروه علوم خاک، دانشکده کشاورزی، دانشگاه صنعتی اصفهان

\*: مسئول مکاتبات: پست الکترونیکی: chavoshie@yahoo.com

## مقدمه

فرآیند واجذب عناصر جذب شده از فاز جامد به فاز محلول می باشد (۲۳). به منظور ارزیابی خطرپذیری و پیش بینی بهتر پویایی آلایندهها ضروری است پدیده پسماند (hysteresis) و مکانیسم های درگیر در جذب و واجذب آلایندهها مورد بررسی قرار گیرد. پدیده پسماند یکی از مهم ترین عوامل مؤثر بر کارایی یک جذب کننده در کاهش قابلیت فراهمی زیستی، تحرک و سرنوشت آلاینده های جذب شده بر روی کانی های خاک و جذب کننده های مورد استفاده در ثبت آلاینده های آب و فاضلاب می باشد (۲۷). این پدیده عبارت است از عدم برگشت پذیری و یا آزادسازی کند بخشی از عنصر جذب شده بر روی فاز جامد (جذب کننده) به فاز محلول. معمولاً برای تشخیص این پدیده در فرآیند جذب یک عنصر بر روی یک جذب کننده از هم دماهای جذب و واجذب استفاده می شود. در صورتی که هم دماهای واجذب بر هم دمای جذب منطبق شوند جذب برگشت پذیر و در صورت انحراف هم دماهای جذب از هم دماهای واجذب، پسماند جذبی رخ داده است (۲۹).

به طور کلی عوامل مختلفی در جذب فلوراید بر روی کانی ها مؤثر است. برخی از این عوامل عبارتند از: ۱. سرعت انجام واکنش: انجام آزمایش در شرایط ایستا یا تکان دادن تأثیر زیادی بر میزان جذب فلوراید بر سطوح ذرات دارد. به عنوان مثال مطالعه فن و همکاران (۱۲) نشان داد که در شرایط شیکر کردن، فلوراید سریعاً روی سطوح کوارتز، کلسیت و فلورسپار جذب شده و در عرض ۲ دقیقه به تعادل رسیده است. در این مدت زمان بسیار کم، فلورسپار حدود ۲۵ درصد، کلسیت حدود ۱۲ درصد و کوارتز حدود ۶ درصد از فلوراید موجود در محلول را جذب نمودند. در شرایط ایستا، در ۱۰ دقیقه اول آزمایش تنها حدود ۳ تا ۶ درصد از فلوراید روی هر سه کانی جذب شد و بعد از آن در مدت زمان ۱۰۰ دقیقه، میزان جذب تنها حدود ۲ درصد افزایش یافت. نتایج این تحقیق نشان داد که شیکر کردن روی مرحله اول جذب فلوراید مؤثر است (۱۲).

فلورید یک عنصر کم مصرف ضروری در رژیم غذایی انسان است و در مقایسه با سایر عناصر شیمیایی، دامنه باریکی بین جذب مرتبط با اثرات مفید و اثرات مضر آن وجود دارد (۲۱). اگر چه اثرات مفید فلورید بر سلامت انسان در مجتمع علمی پذیرفته شده است. اما جذب بیش از حد این عنصر باعث فلوروسیس دندان و استخوان می شود. اثرات مضر جذب بیش از حد فلورید، میلیون ها نفر از مردم در نقاط مختلف دنیا تحت تأثیر قرار داده است (۱۴). ایران نیز یکی از این کشورها است. بیماری فلوروسیس در برخی از شهرها و روستاهای ایران نظیر برآذجان، خورموج، ماکو، لار و موته در استان های بوشهر، آذربایجان غربی، فارس و اصفهان گزارش شده است. براساس گزارش های منتشر شده، انتقال فلوراید به آب های زیرزمینی و غلظت زیاد آن در آب عامل اصلی شیوع فلوروسیس در این مناطق است (۳).

منع مهم ورود فلورید به خاک و انتقال آن به آب های زیرزمینی، هوادیدگی کانی های مختلف نظیر فلوریت، بیوتیت، توپاز و سنگ های حاوی آنها نظیر گرانیت، بازالت و شیل است (۹). فعالیت های انسانی نظیر کارخانه ذوب آلومینیوم، تولید فولاد، شیشه و تولید کود منابع دیگر ورود فلورید به محیط زیست می باشند (۲).

عامل مهم دیگر در انتقال فلورید به آب های زیرزمینی، فرآیندهای فیزیکی و شیمیایی نظیر فرآیند جذب سطحی است که در خاک اتفاق می افتد (۹). فرآیند جذب سطحی از مکانیسم های مهم در کنترل انتقال آلاینده ها به سمت آب های زیرزمینی می باشد که به وسیله هم دماهای جذب توصیف می شود (۱۸). هم دماهای جذب رابطه بین یک یون در فاز جامد و غلظت آن در محلول تعادلی را در دمای ثابت نشان می دهند و به عنوان ابزارهایی برای توصیف و پیش بینی مقدار جذب و پویایی عناصر در خاک به کار می روند (۲۰).

با این حال یکی از عوامل خطا در پیش بینی سرنوشت آلاینده ها به وسیله مدل های آلودگی خاک و آب، در نظر نگرفتن

در ایران پژوهشی در مورد جذب یا واجذب فلورید در خاک انجام نشده است. براساس گزارش یونیسف، ایران یکی از ۲۷ کشوری است که غلظت زیاد فلورید در آب شرب، باعث بروز بیماری فلوروسیس می‌شود (۳۱). پژوهش‌های انجام شده در برخی نواحی ایران نیز وجود غلظت‌های زیاد فلورید در آب‌های زیرزمینی را تأیید می‌کند. بنابراین مطالعه در زمینه حرکت فلورید و عوامل مؤثر بر انتقال آن به آب‌های زیرزمینی ضروری می‌باشد. در همین راستا پژوهشی با هدف بررسی جذب و واجذب فلورید در خاک آهکی اصفهان انجام شد.

## مواد و روش‌ها

این پژوهش در خاک مزرعه تحقیقاتی دانشگاه صنعتی اصفهان واقع در لورک نجف آباد انجام شد. این منطقه در ۴۰ کیلومتری جنوب غربی اصفهان در عرض جغرافیایی ۳۲ درجه و ۳۲ دقیقه شمالی و طول جغرافیایی ۵۱ درجه و ۲۳ دقیقه شرقی واقع شده است. رده‌بندی خاک منطقه تیپیک هاپل آرجید، فاین لومی، میکسد، ترمیک (Typic Haplargid, Fine Loamy, Mixed, Thermic) و در سری خاک خمینی شهر قرار می‌گیرد. نمونه‌برداری از لایه‌های ۰ تا ۳۰ و ۳۰ تا ۶۰ سانتی‌متری و در چهار تکرار با استفاده از اگر دستی انجام شد. بافت خاک به روش هیدرومتر (۶)، ماده آلی به روش اکسیداسیون تر (۳۲)، pH (۳۰) و EC (۲۶) در عصاره با نسبت ۱:۵ اندازه‌گیری شد.

جذب و واجذب فلورید به روش زیر اندازه‌گیری شد:

سه گرم خاک عبور کرده از الک ۱۰ مش را با ۳۰ میلی لیتر محلول کلرید سدیم ۰/۰۵ مولار با غلظت‌های صفر، ۲/۵، ۵، ۱۰، ۲۵، ۵۰ و ۱۰۰ میلی گرم فلورید بر لیتر (با استفاده از نمک فلورید سدیم) در لوله‌های سانتریفیوژ پلی‌اتیلنی مخلوط کرده و نمونه‌ها به مدت ۲۳ ساعت همزده شد. از نمک کلرید سدیم به جای نمک کلرید کلسیم برای ثابت نگهداشتن قدرت یونی استفاده شد زیرا کلرید کلسیم ممکن است باعث رسوب فلورید به صورت  $\text{CaF}_2$  شود. سپس سوپاپانسیون‌ها صاف شده و غلظت فلورید در محلول صاف شده، اندازه‌گیری شد. مقدار

۲. اثر غلظت: با افزایش غلظت فلوراید در محلول، میزان جذب آن افزایش می‌یابد (۱۲).

۳. نوع رس: مطالعه جذب فلوراید بر روی کانی‌های کائولینیات و مونتموریلونیات نشان داد که میزان جذب در کائولینیات ۲/۴ تا ۸/۸ برابر بیشتر از مونتموریلونیات می‌باشد. وجود بارهای دائمی منفی بیشتر در مونتموریلونیات، دلیل جذب کمتر فلوراید در این کانی نسبت به کائولینیات می‌باشد (۵).

۴. pH: به طور کلی جذب آنیون‌ها با تغییر pH تغییر می‌کند. در مورد فلوراید نیز میزان جذب با افزایش pH، افزایش یافته و در نزدیکی  $\text{pK}_{\text{a}}$  آن (حدود ۴) به حداقل می‌رسد و بعد از آن با افزایش pH جذب کاهش می‌یابد (۱). براساس مطالعه ارنسن و کروگستد (۲)، کمترین حلایت فلوراید در pH بین ۴/۸ تا ۵/۵ وجود دارد و گونه‌های فلوراید موجود در محلول بسته به pH تغییر می‌کنند. الرشیدی و لیندزی (۱۰) کمپلکس‌های  $\text{AL}-\text{F}_x$  را مهم‌ترین گونه‌های محلول فلوراید در خاک‌های اسیدی با pH کمتر از ۶ و F free را گونه غالب فلوراید در pH های بالای ۶ معرفی کردند.

پیک و ولک (۲۵) جذب و واجذب فلوراید را در تعدادی خاک با pH های اسیدی و بازی مورد آزمایش قرار دادند. نتایج این پژوهشگران نشان داد که جذب فلوراید در تمام خاک‌ها سریع بوده و حدود ۶۰ درصد از جذب در ۶ ساعت اول و ۹۰ درصد از جذب در ۲۴ ساعت اول اتفاق می‌افتد. آنان بر این عقیده‌اند که فلوراید ابتدا در معرض یک واکنش تبادلی سریع قرار گرفته و در ادامه در معرض واکنش‌های کنترل نظری رسوب  $\text{CaF}_2$  یا فلورآپاتیت قرار می‌گیرد. در این مطالعه واجذب فلوراید نیز با گذشت زمان کاهش می‌یابد که احتمالاً دلیل آن افزایش پیوند فلوراید با خاک با افزایش زمان و در نتیجه کاهش واجذب می‌باشد. با بررسی هم‌دماهای جذب فلوراید مشخص شد که جذب فلوراید در غلظت‌های پائین از معادله لانگمویر تبعیت می‌کند اما در غلظت‌های بالا شبیه خط تغییر می‌کند. این تغییر در شبیه خط به رسوب  $\text{CaF}_2$  یا فلورآپاتیت در غلظت‌های بالا نسبت داده می‌شود (۲۴، ۱۶ و ۲۵).

می باشند.

با محاسبه مقادیر فلورید باقیمانده در فاز جامد و قرار دادن آنها در برابر غلظت‌های تعادلی مربوطه، هم‌دماهای واجذبی در دو مرحله رسم شده و مدل فروندلیخ بر داده‌های واجذبی برآش داده شد:

$$q = K_{F\text{desorb}} C_e^n \text{desorb} \quad [3]$$

که در آن  $(\text{mg g}^{-1})$  مقدار فلورید موجود در فاز جامد،  $C_e$   $(\text{mg L}^{-1})$  غلظت فلورید در محلول تعادلی و  $K_{\text{desorb}}$  ضرایب مدل فروندلیخ برآش یافته بر داده‌های واجذب می باشند.

شاخص‌های مختلفی برای پدیده پسماند ارائه شده است که بیشتر آنها براساس ضرایب مدل فروندلیخ می باشد. در این تحقیق از شاخص پسماند ظاهری ارائه شده توسط اکانز و همکاران (۲۳) و باریوسو و همکاران (۴) استفاده شد. این شاخص برای هر جفت شاخه هم‌دمای جذب- واجذب براساس رابطه زیر تعیین می گردد.

$$AHI = \frac{n_{\text{desorb}}}{n_{\text{sorb}}} \quad [4]$$

که در آن AHI، شاخص پسماند ظاهری و  $n_{\text{sorb}}$  و  $n_{\text{desorb}}$  به ترتیب نمایه‌های مدل فروندلیخ برآش داده شده بر داده‌های جذب و واجذب می باشند. این شاخص معیاری از شدت واجذب است. اگر پسماند جذبی وجود نداشته باشد و  $K_{\text{sorb}} = K_{\text{desorb}}$  و  $n_{\text{desorb}} = n_{\text{sorb}}$  و در صورت پسماند مثبت  $n_{\text{desorb}}/n_{\text{sorb}} < 1$  و  $K_{\text{sorb}} < K_{\text{desorb}}$  می باشد و اگر  $n_{\text{desorb}}/n_{\text{sorb}} > 1$  و  $K_{\text{sorb}} > K_{\text{desorb}}$  باشد پسماند از نوع منفی خواهد بود (۴).

## نتایج و بحث

برخی از ویژگی‌های فیزیکی و شیمیایی خاک مورد مطالعه در جدول ۱ ارائه گردیده است. در این خاک، بافت، درصد کربن آلو، pH و EC با عمق تغییر معنی داری نداشته‌اند ولی ظرفیت تبادل کاتیونی (CEC) با افزایش عمق کاهش معنی داری (سطح ۵ درصد) را نشان داده است.

جذب از تفاوت بین غلظت‌های اولیه و غلظت‌های تعادلی محاسبه شد. در ادامه آزمایش جذب برای اندازه‌گیری مقدار واجذب در همان خاک، ۲۵ میلی لیتر از محلول کلرید سدیم  $0/03\text{ مولار جایگزین } 25\text{ میلی لیتر از عصاره استخراج شده، گردید. نمونه‌ها به مدت } 24\text{ ساعت هم‌زده شد. سپس سوسپانسیون‌ها صاف شد و غلظت فلوراید در محلول صاف شده قرائت گردید. آزمایشات واجذب در دو مرحله انجام شد.}$

غلظت فلورید در عصاره‌ها با استفاده از روش پتانسیومتری و استفاده از یک الکترود فلورید (مدل متراهم، سوئیس) و یک الکترود مرجع تعیین شد. پیش از اندازه‌گیری غلظت فلورید، عصاره جمع‌آوری شده با نسبت ۱:۱ با بافر تیزاب (Total ionic strength adjusting buffer) مخلوط شد. این بافر برای جداسازی کمپلکس‌های فلورید، ثابت کردن pH و حفظ قدرت یونی ثابت اضافه می شود. این بافر دارای  $57\text{ میلی لیتر اسید cyclohexylene استیک، } 58\text{ گرم نمک کلرید سدیم و } 4\text{ گرم CDTA (dinitrilo tetra acetate) در یک لیتر می باشد که pH آن با استفاده از هیدروکسید سدیم } 6\text{ نرمال روی } 5/2\text{ تنظیم شد}$  (۲۲). نتایج حاصل از آزمایشات با استفاده از نرم‌افزار Curve expert 1.3 در معادلات هم‌دماهای جذب لانگمویر و فروندلیخ مورد بررسی قرار گرفت.

شكل کاربردی معادله لانگمویر به صورت زیر است (۱۹):

$$q_e = \frac{q_{\max} K_L C_e}{1 + K_L C_e} \quad [1]$$

که در آن  $q_{\max}$  بیشینه جذب  $(\text{mg g}^{-1})$  و  $q_e$  مقدار جذب شده در تعادل با غلظت  $C_e$   $(\text{mg L}^{-1})$  می باشند  $(\text{mg g}^{-1})$ . ثابت  $K_L$  بیانگر تمایل به تشکیل کمپلکس سطحی بوده (قدرت پیوند) به طوری که هر چه  $K_L$  بزرگتر باشد این تمایل بیشتر است.

شكل کلی معادله تجربی فروندلیخ عبارت است از (۱۵):

$$q = K_F C_e^n \quad [2]$$

که در آن  $q$  مقدار عنصر جذب شده  $(\text{mg g}^{-1})$  غلظت عنصر در حال تعادل  $(\text{mg L}^{-1})$  و  $K_F$  ضرایب مدل

جدول ۱. برخی از ویژگی‌های خاک مطالعاتی واقع در مزرعه لورک

عمق خاک (سانتی‌متر)	بافت خاک	درصد سیلت	درصد رس	درصد کربن آلی	pH (۱:۵)	EC(۱:۵) (dSm <sup>-۱</sup> )	CEC (cmol <sub>c</sub> kg <sup>-۱</sup> )
۰-۳۰	SiCL	۴۸/۳	۲۶/۷	۰/۴	۸/۲	۰/۲۱	۱۶/۶
۳۰-۶۰	SiCL	۴۳	۳۹	۰/۳۵	۸/۳	۰/۱۶	۱۵/۸

SiCL: Silty Clay Loam

جدول ۲. ثابت‌ها، ضرایب تبیین و خطاهای استاندارد برآورد حاصل از برآزش مدل‌های لانگمویر و فروندلیچ

بر داده‌های جذب فلورید در خاک

مدل	عمق (سانتی‌متر)	عمق (سانتی‌متر)	
لانگمویر			
$q_{\max} (\text{mg g}^{-1})$	۰/۴	۰/۳۵	
$K_L (\text{L mg}^{-1})$	۰/۰۳۶	۰/۰۳۷	
$R^*$	۰/۹۷	۰/۹۸	
SEE	۰/۰۱۹	۰/۰۱۹	
فروندلیچ			
$K_F (\text{mg}^{(1-n)} \text{L}^n \text{g}^{-1})$	۰/۰۲۶	۰/۰۲۵	
$n$	۰/۵۷	۰/۵۵	
$R^*$	۰/۹۷	۰/۹۷	
SEE	۰/۰۳	۰/۰۲۸	

از مطالعات جذب یون‌ها بر روی اجزاء خاک همانند یک معادله تجربی عمل خواهد کرد. در مطالعه گاپتا و همکاران (۱۶) و چهابرا و همکاران (۸) هم‌دهای جذب لانگمویر جذب فلورید را به خوبی توصیف کرد. در مطالعه پیک و ولک (۲۵) و امتی و جونز (۲۴) نیز جذب فلورید به وسیله هم‌دهای جذب فروندلیچ به خوبی توصیف شد. ثابت  $n$  در معادله فروندلیچ معیاری از انحنای معادله برآزش یافته بوده و به عنوان شاخص شدت جذب شناخته می‌شود. به عقیده اسینگتون  $n$  می‌تواند میزان ناهمگنی سطح جذب کننده را نشان دهد به‌طوری که هرچه  $n$  به سمت صفر میل نماید ناهمگنی و تنوع مکان‌های جذب افزایش یافته و با نزدیک شدن  $n$  به سمت یک سطح جذب کننده همگن‌تر خواهد شد (۱۱). ضریب  $n$  مدل

هم‌دهای جذب فلورید ثابت‌ها، ضرایب تبیین و خطاهای استاندارد برآورد حاصل از برآزش مدل‌های لانگمویر و فروندلیچ بر داده‌های جذب فلورید در جدول ۲ ارائه گردیده است. براساس معیارهای انتخاب هم‌دهای مناسب یعنی  $R^*$  و SEE، هر دو مدل جذب فلورید را در خاک به خوبی توصیف کردند. البته باید توجه داشت که برآزش مناسب معادله لانگمویر بر داده‌های جذب عناصر بر روی ذرات خاک لزوماً به مفهوم درست بودن این فرضیات نبوده و تأییدی بر سازوکار برون جذبی تک لایه‌ای نمی‌باشد. این معادله در برخی آزمایش‌ها که در آنها فرآیند جذب با سازوکار رسوب سطحی همراه بوده است نیز به خوبی بر داده‌ها برآزش یافته است (۲۸). به عبارت دیگر، این معادله در بسیاری

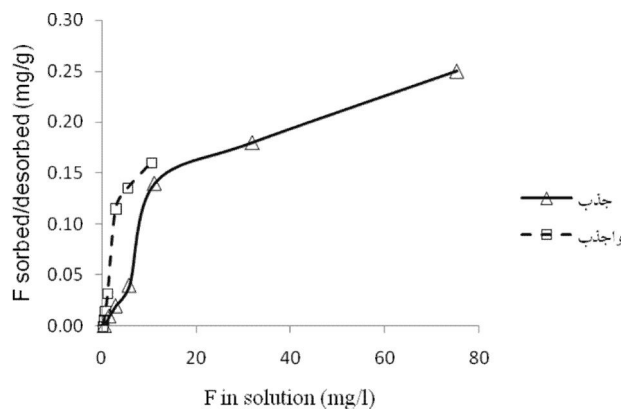
## جدول ۳. ثابت‌ها، ضرایب تبیین و خطاهای استاندارد برآورد حاصل از برازش مدل فروندلیچ بر داده‌های واجدب فلورید در خاک

مدل فروندلیچ	لایه (سانتی‌متر)	لایه (سانتی‌متر)
واجدب اول	۰-۳۰	۳۰-۶۰
$K_{desorb}$	۰/۰۳	۰/۰۳
$n_{desorb}$	۰/۵۱	۰/۵۴
$R^*$	۰/۹	۰/۹
SEE	۰/۰۲۷	۰/۰۲۷
واجدب دوم		
$K_{desorb}$	۰/۰۶	۰/۰۶
$n_{desorb}$	۰/۵۴	۰/۵۶
$R^*$	۰/۹	۰/۸۸
SEE	۰/۰۳۱	۰/۰۳۱

نمود(شکل ۱). ثابت‌ها، ضرایب تبیین و خطاهای استاندارد برآورد حاصل از برازش مدل فروندلیچ بر داده‌های واجدب در جدول ۳ ارائه شد. همان‌گونه که در جدول مشاهده می‌شود، مقادیر ثابت  $K_F$  و  $n$  هم‌دماهای واجدب برای هر دو عمق خاک بیشتر از مقادیر متناظر هم‌دماهای جذب می‌باشد. همچنین  $K_{sorb}$   $\ll K_{desorb}$  می‌باشد که نشانه پسماند مثبت است. فولر و همکاران(۱۳) با مطالعه جذب فلورید در خاک‌های اسیدی و آهکی دریافتند که جذب فلورید در خاک‌های اسیدی برگشت‌پذیر است اما در خاک‌های آهکی پدیده پسماند وجود دارد که علت این پدیده به رسوب  $CaF_2$  نسبت داده می‌شود. میانگین فلورید واجدب شده از خاک بعد از دو مرحله آزادسازی حدود ۲۸ درصد در غلظت‌های مختلف می‌باشد(جدول ۴). به نظر می‌رسد که جذب فلورید روی خاک برگشت‌پذیر است. هینگستون و همکاران (۱۷) معتقدند که برگشت‌پذیری جذب فلورید روی گثوتیت و گیسایت و واجدب سریع فلورید به دلیل تشکیل پیوند یک دندانه‌ای فلورید با جاذب است. اما پیک و ولک (۲۵) این فرضیه را به دلیل عدم برگشت‌پذیری جذب فلورید در خاک‌های دارای مقادیر زیاد

فلورید برای دو عمق به ترتیب ۰/۰۵۷ و ۰/۰۵۵ بود. انحراف  $n$  از واحد (۱) نشان‌دهنده جذب غیرخطی بر روی سطوح غیرهمگن می‌باشد و با افزایش پوشش سطح بر روی کانی‌های مذکور انرژی جذب به صورت توانی کاهش می‌یابد (۱۱). ثابت  $K_F$  مدل فروندلیچ که معیاری از ظرفیت جذب است (۲۰)، برای دو عمق مورد مطالعه به ترتیب  $(^{(1-n)}L^n g^{-1} mg^{0/026})$  و  $0/025$  به دست آمد. کوچک بودن این مقادیر نشان‌دهنده این است که جذب فلورید در این خاک‌ها کم است. ثابت  $K_L$  در معادله لانگمویر نیز بیانگر تمایل به تشکیل کمپلکس سطحی بوده (قدرت پیوند) به طوری که هر چه  $K_L$  بزرگ‌تر باشد این تمایل بیشتر است. همان‌گونه که در جدول ۲ مشاهده می‌شود،  $K_L$  در این آزمایش بسیار کوچک است. بیشینه ظرفیت جذب خاک  $q_{max}$  تعیین شده به وسیله مدل لانگمویر برای فلورید برای دو عمق صفر تا ۳۰ و تا ۶۰ سانتی‌متری به ترتیب  $g^{-1} 4/0 mg^{0/035}$  و  $0/35$  می‌باشد. همان‌گونه که مشاهده می‌شود جذب با افزایش عمق، کاهش یافته است.

**هم‌دماهای واجدب فلورید**  
مدل فروندلیچ، واجدب فلورید در خاک را به خوبی توصیف



شکل ۱. هم‌دماهای جذب و واجذب فلورید

جدول ۴. درصد فلورید واجذب شده از خاک بعد از دو مرحله واجذب

غذشت اولیه	مقدار فلورید جذب شده در مرحله دوم	مقدار دفع فلورید جذب شده در مرحله دوم	%
mg F L <sup>-1</sup>	mg g <sup>-1</sup>	mg g <sup>-1</sup>	%
۲/۵	۳/۸×۱۰ <sup>-۳</sup>	۰/۰۱	۳۸
۵	۶/۴×۱۰ <sup>-۳</sup>	۰/۰۲	۳۲
۱۰	۱/۱×۱۰ <sup>-۲</sup>	۰/۰۴	۲۸
۲۵	۲/۲×۱۰ <sup>-۲</sup>	۰/۱۴	۱۶
۵۰	۳/۷×۱۰ <sup>-۲</sup>	۰/۱۸	۲۱
۱۰۰	۸/۲×۱۰ <sup>-۲</sup>	۰/۲۵	۳۳

جدول ۵. شاخص پسماند جذب-واجذب (AHI) فلورید در خاک

شاخص پسماند	لایه (سانتی متر) ۰_۳۰	لایه (سانتی متر) ۳۰_۶۰	لایه (سانتی متر)
واجذب اول	۰/۹۵	۰/۹۳	
واجذب دوم	۰/۹۸	۰/۹۸	

به وسیله شاخص پسماند یا هیسترسیس ظاهری (apparent hysteresis index) استاندارد گردیده که مقادیر آنها در جدول ۵ نشان داده شده است. بزرگ‌تر بودن مقدار این شاخص نشان‌دهنده آزادسازی سریع‌تر و راحت‌تر عنصر جذب شده بر

آلومینیوم بی‌شکل، رد می‌کنند. آنان بر این عقیده‌اند که جذب فلورید در خاک‌ها پیچیده‌تر از یک واکنش تبادلی لیگاند ساده تک دندانه‌ای می‌باشد.

اختلاف بین جذب و واجذب متناظر هم‌دماهی فرون‌دلیچ

بیشینه ظرفیت جذب خاک ( $q_{\max}$ ) تعیین شده به وسیله مدل لانگمویر برای فلورید به ترتیب ( $(mg\ g^{-1})$ )  $0/4$  و  $0/35$  برای لایه‌های  $0-30$  و  $30-60$  سانتی‌متری خاک به دست آمد. همچنین هم‌دهمانهای واجذب فلورید از خاک بر هم‌دهمانهای جذب آن منطبق نشد که نشان دهنده برگشت ناپذیر بودن جذب یا پدیده پسماند بود. مقدار هیسترسیس از پارامترهای جذب و واجذب فروندلیچ ( $K_F$  و  $n$ ) و با استفاده از شاخص هیسترسیس ظاهری ارزیابی شد. بزرگ بودن مقدار این شاخص نشان دهنده آزادسازی سریع فلورید از خاک بود.

روی کانی می‌باشد (۴ و ۷). همان‌گونه که در جدول مشاهده می‌گردد مقادیر این شاخص برای فلورید بزرگ بوده که نشان‌دهنده آزادسازی فلورید از مکان‌های جذب خاک و تأیید کننده فرضیه هینگستون و همکاران (۱۷) می‌باشد.

### نتیجه‌گیری

نتایج این پژوهش نشان داد که جذب و واجذب فلورید از خاک به خوبی توسط مدل فروندلیچ توصیف می‌گردد. مدل لانگمویر نیز جذب فلورید در خاک را به خوبی توصیف کرد. میزان جذب فلورید در خاک آهکی مورد بررسی کم بوده و

### منابع مورد استفاده

- اوستان، ش (متترجم). ۱۳۸۳. شیمی خاک با نگرش زیست محیطی. چاپ اول، انتشارات دانشگاه تبریز (مؤلف: دونالد ال. اسپارکس)
- Arnesen, A. K. M. and T. Krogstad. 1998. Sorption and desorption of fluoride in soil polluted from the aluminium smelter at ardal in western Norway. Water Air Soil Pollut. 103: 357-373.
- Asghari Moghadam, A. and E. Fijani. 2008. Distribution of fluoride in groundwater of Maku area, northwest of Iran. Environ Geol. 56: 281-287.
- Barriuso, E., D. A. Laird, W. C. Koskinen and R. H. Dowdy. 1994. Atrazine desorption from smectites. Soil Sci. Soc. Am. J. 58: 1632-1638.
- Bar-Yosef, B., I. Afik and R. Rosenberg. 1988. Fluoride sorption by montmorillonite and kaolinite. Soil Sci. 145(3): 194-200.
- Bouyoucos, C. J. 1962. Hydrometer method improved for making particle-size analysis of soils. Agron. J. 4: 464-465.
- Chernet, T., Y. Travi and E. Valles. 2001. Mechanism of degradation of the quality of natural water in the lakes region of the Ethiopian Rift Valley. Water Res. 35: 2819-2832.
- Chhabra, R., A. Singh and I. P. Arbol. 1980. Fluorine in sodic soils. Soil Sci. Soc. Am. J. 44:33-36.
- Edmunds, M. and P. Smedley. 2005. Fluoride in Natural Waters. PP. D-301-D-329. In: Selinus, B. J., J. A. Alloway, R. B. Centeno, R. Finkelman, U. Fuge, U. Lindh, P. Smedley (Eds.), Essentials of Med Geology, Impact of Natural Environment on Public Health, Elsevier Academic Press, Lodon, UK.
- Elrashidi, M. A. and W. L. Lindsay. 1986. Chemical equilibria of fluorine in soils: A theoretical development. Soil Sci. 141(4): 274-280.
- Essington, M. E. 2004. Soil and Water Chemistry: An Integrative Approach. CRC Press. Boca Raton. 1-145. Florida. USA.
- Fan, X., D. J. Parker and M. D. Smith. 2003. Adsorption kinetics of fluoride on low cost materials. Water res. 37: 4929-4937.
- Fluhler, H., J. Polomski and P. Blaser. 1982. Retention and movement of fluoride in soils. J. Environ. Qual. 11: 461-468.
- Fomon, S. J., S. J. Ekstrand and E. E. Ziegler. 2000. Fluoride intake and prevalence of dental fluorosis: trends in fluoride intake with special attention to infants. J. Public Health Dent. 60:131-139.
- Freundlich, H. M. F. 1966. Over the adsorption in solution. J. Phys. Chem. 57:43-49.
- Gupta, R. K., R. Chhabra and I. P. Arbol. 1982. Fluorine adsorption behavior in alkali soils: relative roles of pH and sodicity. Soil Sci. 133: 364- 368.
- Hingston, F. J., A. M. Posner and J. P. Quirk. 1974. Anion adsorption by goethite and gibbsite: 2. Desorption of anions from hydrous oxide surfaces. Soil Sci. 25:16-26.
- Kau, P. M. H., D. W. Smith and P. J. Binning. 1998. Experimental sorption investigations of fluoride by kaolinite and bentonite. Geoderma 84:89-108.

19. Langmuir, I. 1918. Adsorption of gases on plane surfaces of glass, mica and platinum. *J. Am. Chem. Soc.* 40: 1361-1403.
20. Limousin, G., J. P. Gaudet, L. Charlet., S. Szenknect, V. Barthès and M. Krimissa. 2007. Sorption isotherms: A review on physical bases, modeling and measurement. *Appl Geochem.* 22: 249-275.
21. Malinowska, E., I. Inkielewicz., W. Czarnowski. 2008. Assessment of fluoride concentration and daily intake by human from tea and herbal infusions. *Food Chem Toxicol.* 46: 1055-1061.
22. McQuaker, N. R. and M. Gurney. 1977. Determination of total fluoride in soil and vegetation using an alkali fusion selective ion electrode technique. *Anal Chem.* 49:53-56.
23. O'Connor, G. A., P. J. Wierenga., H. H. Cheng and K. G. Doxtader. 1980. Movement of 2, 4, 5-T through large soil columns. *Soil Sci.* 130: 157-162.
24. Omuetti, J. A. I. and R. L. Jones. 1977. Fluoride adsorption by Illinois soils. *Soil Sci.* 28: 564-572.
25. Peek, D. C. and V. V. Volk. 1985. Fluoride sorption and desorption in soils. *Soil Sci. Soc. Am. J.* 49: 583- 586.
26. Rhoades, J. D. 1996. Salinity: electrical conductivity and total dissolved solid. PP: 417-436. In: Sparks, D. L., A. L. Page, P. A. Helmke. R. H. Loepert, P. N. Soltanpour, M. A. Tabatabai, C. T. Johnston, M. E. Sumner. (Eds.), *Methods of Soil Analysis. Part 3. Chemical Methods.* American Society of Agronomy, Madison, WI.
27. Sander, M., Y. F. Lu and J. J. Pignatello. 2005. A thermodynamically based method to quantify true sorption hysteresis. *J. Environ. Qual.* 34: 1063-1072.
28. Sparks, D. L. 2003. *Environmental Soil Chemistry.* Academic Press. San Diego. California. USA.
29. Strawn, D. G., A. M. Scheidegger and D. L. Sparks. 1998. Kinetics and mechanisms of Pb(II) sorption and desorption at the aluminum oxide-water interface. *Environ. Sci. Technol.* 32: 2596-2601.
30. Thomas, G. W. 1996. Soil pH and soil acidity. PP: 475-490. In: Sparks, D. L., A. L. Page, P. A. Helmke. R. H. Loepert, P. N. Soltanpour, M. A. Tabatabai, C. T. Johnston, M. E. Sumner (Eds.), *Methods of Soil Analysis. Part 3. Chemical Methods.* American Society of Agronomy, Madison, WI. 31. UNISEF Publication on Water, Environment, Sanitation and Hygiene. Fluoride in water: An overview, issue 13, December 1999.
32. Walkey, A. and I. A. Black. 1934. An examination of the Degtjareff method for determining soil organic matter and proposed modification of the chromic acid titration method. *Soil Sci.* 37: 29-38.